

saggio scientifico originale
ricevuto: 26. 10. 2000

UDC 553.3(497.4)

LA PIRITE NELLE ARENARIE DEL BACINO GIULIO

Davide LENAZ

Dipartimento di Scienze della Terra dell'Università degli studi di Trieste, IT-34127 Trieste, Via Weiss 8
e-mail: lenaz@univ.trieste.it

Licia BILLIATO

IT-34073 Grado (GO), Calle Lunga 14

SINTESI

Alcuni granuli di pirite provenienti dalle arenarie tardo Cretaciche e Eoceniche del Bacino Giulio sono stati studiati, sia dal punto di vista morfologico per mezzo del Microscopio a Scansione Elettronica sia dal punto di vista chimico tramite analisi in spettrometria a dispersione di energia. Tali analisi hanno evidenziato la presenza di granuli euedrali ottaedrici e cubo-ottaedrici di pirite nei campioni delle arenarie Maastrichtiane e di granuli a tessitura framboidale nelle arenarie terziarie. Si suppone pertanto che nel Maastrichtiano vi sia stato un apporto prevalentemente detritico, mentre nel Terziario vi siano state le condizioni chimico-fisiche necessarie per la neoformazione di pirite.

Parole chiave: pirite, arenarie, Bacino Giulio

PYRITE IN SANDSTONES FROM THE JULIAN BASIN

ABSTRACT

The morphology of some pyrite grains from the Late Cretaceous to Eocene sandstones of the Julian Basin has been studied by means of SEM. In addition, chemical analyses were carried out using the EDS technique. The analyses indicated the presence of euhedral (octahedra and cube-octahedra) pyrite grains in the Maastrichtian samples. Framboidal pyrite grains were present in the Tertiary samples. We suppose that in the Maastrichtian there was predominantly a detrital supply, while during Tertiary the chemical and physical conditions were suitable for the autigenic growth of pyrite.

Key words: pyrite, sandstone, julian Basin

INTRODUZIONE

La presenza di pirite fromboidale o euedrale di origine sedimentaria è relativamente comune in rocce sedimentarie, giacimenti a solfuri e suoli. Molteplici studi, anche sperimentali (Sweeney & Kaplan, 1973; Raiswell, 1982), sono stati svolti allo scopo di capire le condizioni chimico-fisiche che causano la formazione di pirite.

La precipitazione diretta di solfuri in ambiente sedimentario può avvenire in condizioni anossiche. In tali condizioni si ha la riduzione a solfuro di solfati di origine marina, ad opera di batteri anaerobici (Berner, 1970). Con questo processo si ha principalmente formazione di pirite e/o marcasite, attraverso meccanismi abbastanza complessi.

Sweeney & Kaplan (1973), sulla base di dati sperimentali, suggerirono l'ipotesi che la pirite fromboidale sia relazionata alla deposizione di solfuri di ferro che si accrescono, a partire da un nucleo sferico, dopo la formazione di solfuri metastabili come mackinawite e greigite o anche pirrotite.

Scopo di questo lavoro è la determinazione qualitativa dei solfuri tramite analisi EDS (spettrometria a dispersione di energia) al microscopio elettronico al fine di ipotizzarne la possibile genesi e stabilire quindi se si tratta di solfuri detritici o di neoformazione.

I solfuri analizzati in questo lavoro provengono dalle arenarie del Flysch del Bacino Giulio.

AREA DI STUDIO

Aubouin (1963) ha introdotto la denominazione di Bacino Giulio per le successioni clastiche che occupano gran parte delle Prealpi Giulie meridionali (Friuli orientale) e parte del territorio sloveno. Attualmente tale bacino viene anche denominato Bacino Sloveno secondo la dicitura utilizzata da Buser (1987).

Il Bacino Giulio è caratterizzato da sedimenti flyschoidi e preflyschoidi. La deposizione di questi materiali ha avuto inizio nel Campaniano superiore (Cretacico superiore) (Tunis & Venturini, 1987) e si è protratta fino al Luteziano inferiore (Eocene) (Venturini & Tunis, 1992).

Il Bacino Giulio è caratterizzato da sedimenti misti silicoclastici-carbonatici, la cui deposizione è controllata da fattori quali le oscillazioni del livello marino, la tettonica, la subsidenza, il clima, l'abbondanza di apporti terrigeni e la paleomorfologia della Piattaforma Friulana, che costituisce la maggior sorgente di detriti carbonatici.

Inizialmente, nell'ambito dei terreni di età Maastrichtiana, sono state distinte numerose unità (Tunis & Venturini, 1985; Pirini *et al.*, 1986). Tunis & Venturini (1992), hanno semplificato tale sequenza stratigrafica portandola a quattro unità per il Cretacico, due per il

Paleocene e due per l'Eocene. Le unità, riportate qui sotto, sono state divise in base alle affinità litologiche, sebbene localmente si registrino delle differenze dovute ad ambienti deposizionali simili ma non identici.

Flysch di Drenchia (Campaniano superiore p.p.): è costituito da grossi banchi di breccia, calcisiltiti con intercalati banchi di breccia e di calciruditi passanti a calcareniti.

Flysch di Clodig (Maastrichtiano inferiore p.p.): è costituito nella parte superiore da intercalazioni calcarenitico-calcilutitiche con banchi carbonatici; nella parte inferiore da intercalazioni calcarenitico-calcisiltitico-arenacee.

Flysch dello Iudrio (Maastrichtiano inferiore p.p.-medio): è costituito da due banchi di breccia passante a calcarenite a cui segue una sedimentazione arenaceo-marnoso-calcarenitico-calcilutitico; si intercalano strati carbonatici.

Flysch di M. Brieka (Maastrichtiano superiore): è costituito da strati arenaceo-marnosi-calcilutitico-calcarenitici a cui si intercalano banchi carbonatici.

Flysch di Calla (Paleocene inferiore-medio p.p.): è costituito da un'alternanza di marne e arenarie con intercalati banchi carbonatici; tipico il colore rossastro, bruno-rossastro, localmente verdastro.

Flysch di Masarolis (Paleocene medio p.p.-superiore p.p.): è costituito da intercalazioni arenaceo-marnose torbiditiche.

Flysch del Crivò (Paleocene superiore p.p. - Eocene inferiore p.p.): occupa gran parte delle Prealpi Giulie. Il "Megastrato del M. Ioanaz", originato da colossali frane sottomarine, segna l'inizio della sequenza; nella parte inferiore e media predominano le torbiditi silicoclastiche distali e le calcitorbiditi prossimali; nella parte superiore prevalgono torbiditi silicoclastiche spesso prossimali.

Flysch di Cormons (Eocene inferiore p.p. - Eocene medio p.p.): chiude la deposizione nel Bacino Giulio con i suoi depositi torbiditici; questa unità è caratterizzata da numerose ripetizioni di serie determinate da faglie orientate NW-SE. Si riconoscono tre associazioni di facies: torbiditi epibatiali argilloso-arenacee e arenacee-argillose con banchi di arenarie amalgamate; argille siltose e siltiti con intercalazioni arenacee (ambiente di prodelta); arenarie, siltiti, arenarie conglomeratiche, conglomerati (ambiente di fronte e piana deltizia).

Nel Maastrichtiano si riconosce anche il Flysch di Val Ucceca (Maastrichtiano inferiore p.p.): sembra che questo flysch sia stato depositato in una sorta di bacino sospeso; questa ipotesi è avallata dalla presenza di banchi di marne calcaree rosse in vari livelli della successione, dalla prevalenza di marne e calcisiltiti nella parte inferiore e dall'assenza di strutture interne nei livelli arenacei.

Questa colonna stratigrafica non comprende le aree

Tab. 1: Nome dei campioni, età, località di raccolta e morfologia (località di raccolta da Bertolla, 1997).

Tab. 1: Imena vzorcev, starost, najdišče in morfologija (najdišče po Bertolla, 1997).

Campione	Unità stratigrafica	Località di raccolta	Morfologia dei granuli
BG27	Flysch di Cormons Eocene inf-Eocene medio	Presso C. Peter in località Romesca, a Nord di Lonzano (quota 140 m).	Concrezioni, masserelle e aggregati iridescenti.
BG26	Flysch di Cormons Eocene inf-Eocene medio	Presso il Monte Candia in località Ronchetto, a Est di Dolegna del Collio (quota 240 m).	Concrezioni, masserelle e struttura fromboidale iridescenti, cristalli molto rovinati, arrotondati.
BG23	Flysch del Grivò Paleocene sup-Eocene inf	Dall'affioramento chiamato "Cret des slavinis" sulla riva sinistra del Torrente Cornappo, all'altezza della zona denominata "Val Polàn" a Sud di Nimis (quota 100 m).	Concrezioni, masserelle e struttura fromboidale iridescenti.
BG22	Flysch del Grivò Paleocene sup-Eocene inf	All'inizio della strada che sale a Sammardenchia dalla valle del Torrente Zimor (quota 290 m).	Aggregati, concrezioni e struttura fromboidale di colore giallo con lucentezza metallica.
BG8	Flysch di M. Brieka Maastrichtiano	Lungo la strada che costeggia il torrente Iudrio nei pressi del Rio Zaoricaian (quota 290 m).	Cristalli ottaedrici.
BG7	Flysch di Val Ucea Maastrichtiano	Lungo la strada che da Ucea porta alla Val Resia, presso il tornante a quota 933 m poco prima degli stali di Tanatemea.	Cristalli ottaedrici.
BG2	Non inserito in unità Maastrichtiano	Località come BG1.	Cristalli ben formati, cubici, ottaedrici e cuboottaedrici di colore giallo con lucentezza metallica.
BG1	Non inserito in unità Maastrichtiano	Nei pressi del tornante sulla strada che porta da Bovec a Koritnica in Slovenia (quota 425 m).	Cristalli ben formati, cubici e ottaedrici di colore giallo con lucentezza metallica.

comunque come cristalli ben formati non può essere utilizzato a discapito dell'ipotesi di derivazione detritica, in quanto sono numerosi i cristalli idiomorfi presenti (granati, spinelli, etc.). Gli aggregati e le masserelle di pirite possono essere sia detritici, forse rovinati dal carico dei sedimenti, sia di neoformazione. Infine, la pirite a tessitura fromboidale è collegabile a processi di neoformazione non presentando segno alcuno di trasporto.

Da ciò si può concludere che nel Maastrichtiano è prevalente un apporto di tipo detritico che ha interessato un'area in cui la pirite si era formata in condizioni di temperatura medio alta. Nei campioni Terziari oltre

all'apporto di materiale non determinabile in maniera sicura come detritico o autigeno (masserelle e aggregati), si ha la neoformazione di pirite fromboidale. Tale fatto implica che in questo periodo si siano avute nel Bacino Giulio delle condizioni chimico-fisiche tali da permettere la neoformazione di questo minerale.

RINGRAZIAMENTI

Gli Autori ringraziano sentitamente il Prof. Princivalle e il Dott. Tunis per la revisione critica del testo, e il sig. Ubaldini per l'aiuto fornito al SEM.

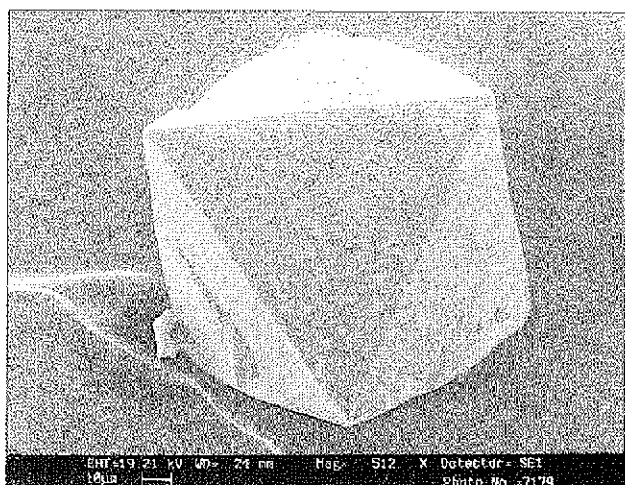


Fig. 2: Cristallo ottaedrico di pirite dal campione BG1. (Foto: A. Bertolla, 1997)

Sl. 2: Oktaedrični piritni kristal iz vzorca BG1. (Foto: A. Bertolla, 1997)

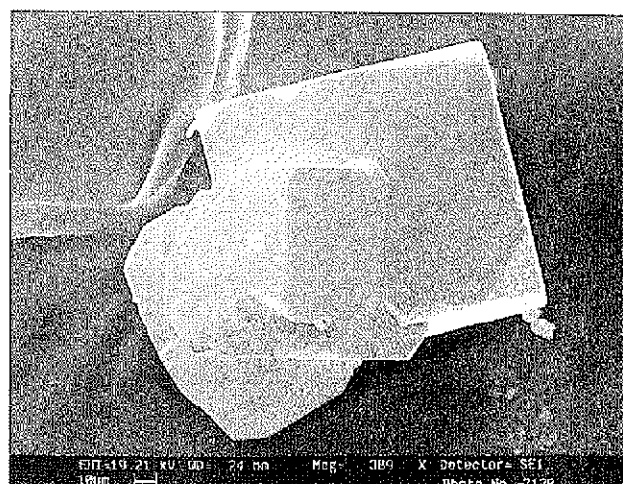


Fig. 3: Cristallo cubo-ottaedrico di pirite dal campione BG1. (Foto: L. Billiato)

Sl. 3: Kubično-oktaedrični piritni kristal iz vzorca BG1. (Foto: L. Billiato)

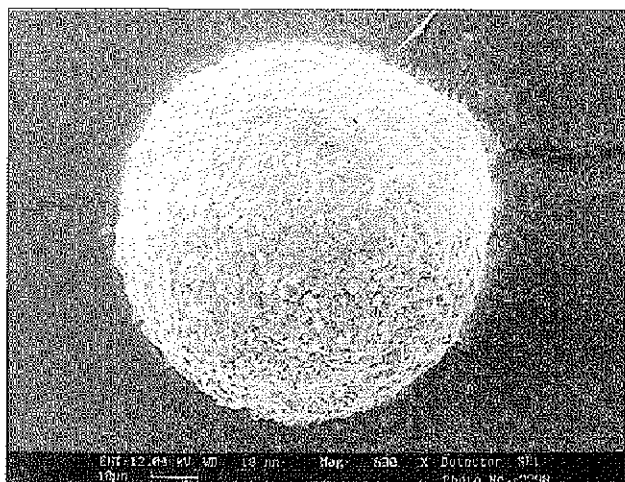


Fig. 4: Pirite framboidale dal campione BG26. (Foto: L. Billiato)

Sl. 4: Framboidalni pirit iz vzorca BG26. (Foto: L. Billiato)

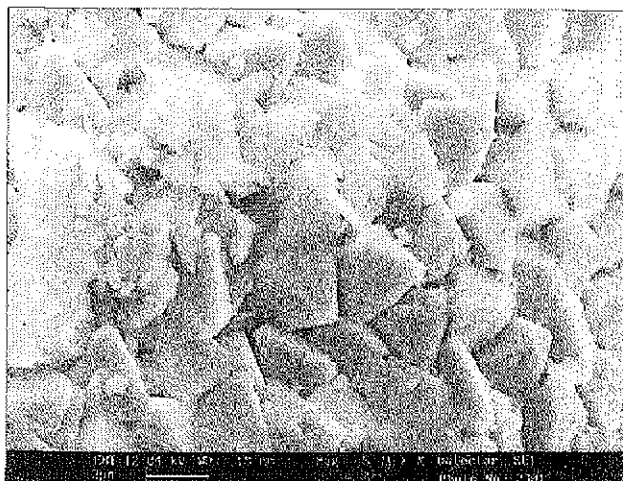


Fig. 5: Particolare della foto precedente. (Foto: L. Billiato)

Sl. 5: Detajl s prejšnje slike. (Foto: L. Billiato)

PIRIT V PEŠČENJAKIH IZ JULIJSKEGA BAZENA

Davide LENAZ

Oddelek za zemeljske vede, Univerza v Trstu, IT-34127 Trieste, Via Weiss 8
e-mail: lenaz@univ.trieste.it

Licia BILLIATO

IT-34073 Grado (GO), Calle Lunga 14

POVZETEK

Opravljen je bila analiza piritnih zrn iz zgornje krednih in eocenskih peščenjakov Julijskega (Slovenskega) bazena. Morfološko so bila zrna pirita pregledana z uporabo SEM mikroskopije, kemično analizo pa smo opravili z EDS spektrometrom. Analizi sta pokazali prisotnost evhedralnih (oktaedričnih in kubičnih-oktaedričnih) piritnih zrn v maastrihtijskih vzorcih. Framboidalna zrna so bila najdena v terciarnih vzorcih. Predvidevamo, da je v maastrihtijskih kamninah prevladoval detritični vnos materiala, v terciarju pa so bile kemične in fizikalne razmere ugodne za nastanek avtigenega pirita.

Ključne besede: pirit, peščenjak, julijski bazen

BIBLIOGRAFIA

- Aubouin, J. (1963):** Essai sur la paléogéographie post-triasique et l'évolution secondaire et tertiaire du versant sud des Alpes orientales (Alpes méridionales; Lombardie et Vénétie, Italie; Slovénie occidentale, Yougoslavie). Bull. Soc. Géol. France, 71, 730-766.
- Berner, R. A. (1970):** Sedimentary pyrite formation. Am. J. Sci., 268, 1-23.
- Bertolla, A. (1997):** Litologie arenacee della successione flyschoidale del Bacino Giulio: significato della cromite e dei parametri petrochimici. Tesi di Laurea inedita, Università degli Studi di Trieste, 91 pp.
- Buser, S. (1987):** Development of the Dinaric and the Julian carbonate platforms and the intermediate Slovenian Basin (NW Yugoslavia). Mem. Soc. Geol. It., 40, 313-320.
- Kuščer, D., K. Grad, A. Nosan & B. Ogorelec (1974):** Geološke raziskave soške doline med Bovecem in Kobaridom (Geology of the Soča Valley between Bovec and Kobarid). Geologija, 17, 425-476.
- Morton, A. (1985):** Heavy minerals in provenance studies. In: Zuffa, G. G. (ed.): Provenance of arenites. NATO-ASI series, 148, 249-27.
- Murowchick, J. B. & H. L. Barnes (1987):** Effects of temperature and degree of supersaturation on pyrite morphology. Am. Min., 72, 1241-1250.
- Pirini Radrižani, C., G. Tunis & S. Venturini (1986):** Biostratigrafia e paleogeografia dell'area sud-occidentale dell'anticlinale M. Mia - M. Mataiur (Prealpi Giulie). Riv. It. Paleont. Strat., 92(3), 327-382.
- Raiswell, R. (1982):** Pyrite texture, isotopic composition and the availability of iron. Am. J. Sci., 282, 1244-1263.
- Sweeney, R. E. & I. R. Kaplan (1973):** Pyrite framboid formation: laboratory synthesis and marine sediments. Ec. Geol., 68, 618-634.
- Tunis, G. & S. Venturini (1985):** Stratigrafia e sedimentologia del Flysch Maastrichtiano-Paleoceno del Friuli orientale. Gortania, Atti Mus. Friul. St. Nat., 6, 5-58.
- Tunis, G. & S. Venturini (1986):** Nuove osservazioni stratigrafiche sul Mesozoico delle Valli del Natisone (Friuli orientale). Gortania, Atti Mus. Friul. St. Nat., 8, 17-68.
- Tunis, G. & S. Venturini (1987):** New data and interpretation on the geology of the southern Julian Prealps (Eastern Friuli). Mem. Soc. Geol. It., 40, 219-229.
- Tunis, G. & S. Venturini (1992):** Evolution of the Southern margin of the Julian Basin with emphasis on the megabeds and turbidites sequence of the Southern Julian Prealps (NE Italy). Geol. Croatica, 45, 127-150.
- Venturini, S. & G. Tunis (1992):** La composizione dei conglomerati cenozoici del Friuli: dati preliminari. St. Geol. Camerti volume speciale 1992/2, CROPI-1A, 285-295.